研究论文

Research Article

高山特有植物丽江棱子芹的叶绿体基因组结构和系统发育 关系

张婕妤¹² 俞树良¹² 李志敏^{12*} 孙文光^{12*}

- 1 云南师范大学生命科学学院, 昆明, 650500: 2 云南师范大学生物能源持续开发利用教育部工程研究中心, 昆明, 650500
- * 共同通信作者, lizhimin_vip@163com; sunwenguang@vip163com

摘 要 本文基于高通量技术对丽江棱子芹(Pleurospermum foetens)的叶绿体基因组进行测序,并对丽江棱子芹的叶绿体基因组结构特征及其系统进化关系进行了分析。结果表明,丽江棱子芹的叶绿体基因组具备典型的四分体结构,基因组全长 155 057 bp,包含 87 个蛋白编码基因、8 个核糖体 RNA 基因和 39 个转运 RNA 基因。生物信息学分析结果显示,叶绿体基因组共编码 26 075 个密码子,编码异亮氨酸 Ile 的 ATT 数量最多,除终止子外编码半胱氨酸 Cys 的 TGC 数量最少,相对同义密码子使用度最高的为 UUA,最少的是 AGC; SSR 位点共预测到了 34 个,包括单核苷酸重复序列 27 个,双核苷酸重复序列 4 个,以及复合型重复序列 3 个。丽江棱子芹与棱子芹属(Pleurospermum)其他植物相比较,其基因组大小、基因类型及 GC 含量相近。利用 IQ-TREE 软件构建最大似然树,结果表明丽江棱子芹与线裂棱子芹(P. linearilobum)的亲缘关系最近,棱子芹属为多系类群。该研究丰富了丽江棱子芹叶绿体基因组的遗传信息,为丽江棱子芹的分子标记的开发、遗传多样性和谱系地理研究等奠定了理论基础,同时也为构建伞形科(Apiaceae)植物的系统进化提供了支持。

关键词 丽江棱子芹; 叶绿体基因组; 序列结构; 系统发育分析

Chloroplast Genome Structure and Phylogenetic Relationships in the Alpine Endemic Plant *Pleurospermum foetens*

ZHANG Jieyu^{1,2} YU Shuliang^{1,2} LI Zhimin^{1,2*} SUN Wenguang^{1,2*}

1 School of Life Science of Yunnan Normal University, Kunming, 650500; 2 Engineering Research Center of Sustainable Development and Utilization of Biomass Energy, Ministry of Education in Yunnan Normal University, Kunming, 650500

* Co-corresponding authors, lizhimin_vip@163com; sunwenguang@vip163com

DOI: 10. 13417/jgab042000903

Abstract This study sequenced the chloroplast genome of *Pleurospermum foetens* by high throughput technique, and analyzed its structural characteristics and phylogenetic relationship. The results showed that the chloroplast genome was a typical tetrad structure. The total length of the genome is 155 057 bp, with 87 protein coding genes, 8 ribosomal RNA genes, and 39 transfer RNA genes. Bioinformatics analysis revealed that the chloroplast genome encodes a total of 26 075 codons, with the highest number of ATT coding for Ile and the lowest number of TGC coding for Cys, apart from the terminator. The highest relative synonymous codon usage was UUA, and the lowest was AGC. Additionally, 34 SSR loci were identified, including 27 single nucleotide repeats sequences, 4 double nucleotide re-

基金项目:本研究由第二次青藏高原综合科学考察研究(2019QZKK05020)、国家自然科学基金项目(31960046)、国家基金-云南省联合基金重点项目(U1802232)及云南省科技厅基础研究专项——青年项目(202201AU070057)共同资助。

引用格式: 张婕妤,俞树良,李志敏,等,2023. 高山特有植物丽江棱子芹的叶绿体基因组结构和系统发育关系. 基因组学与应用生物学,42(9): 903-918. [ZHANG JY, YU S L, LI Z M, et al., 2023. Chloroplast genome structure and phylogenetic relationships in the alpine endemic plant *Pleurospermum foetens*. Genomics and Applied Biology, 42(9): 903-918.]

peats sequences, and 3 complex repeats sequences. The genome size, gene type and GC content of *P. foetens* were similar with other *Pleurospermum species*. A maximum likelihood tree was constructed using the IQ-TREE software, the results showed that *P. foetens* is closely related to *P. linearilobum* and the *Pleurospermum* branch is a paraphyletic group. This study enriched the genetic information of chloroplast genome of *P. foetens*, and laid a theoretical foundation for the development of molecular markers, genetic diversity and phylogeography of *P. foetens*. It also provides support for the systematic evolution of Apiaceae plants.

Keywords Pleurospermum foetens; Chloroplast genome; Sequence structure; Phylogenetic analysis

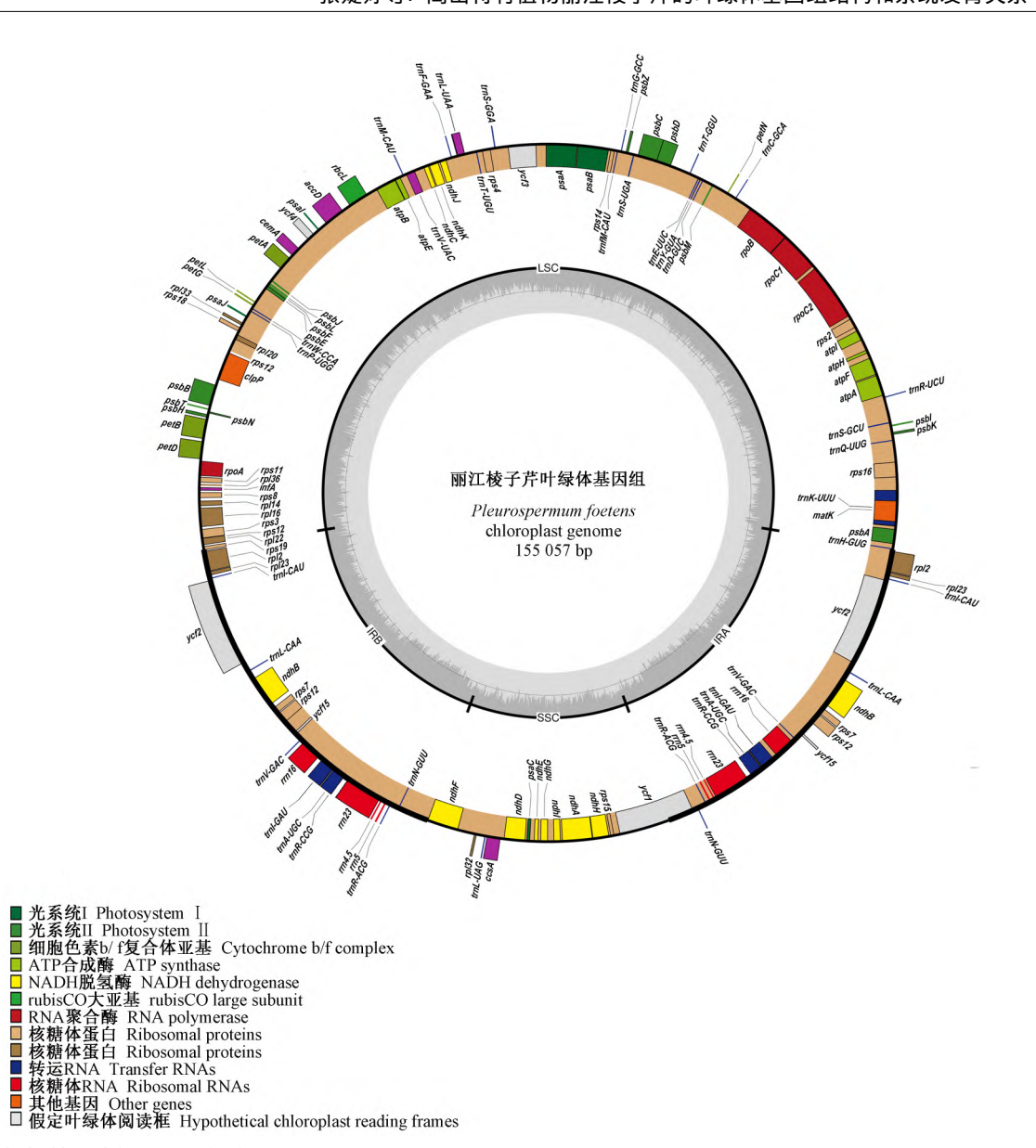
叶绿体是绿色植物中可以进行光合作用的质 体,其基因组一般为环状双链,典型的四分体结构, 包含大单拷贝区(large single copy region, LSC)、小 单拷贝区(small single copy region, SSC)和两段序列 相同、方向相反的反向重复区(inverted repeat region, IRa和IRb) (Jansen et al., 2005)。在被子植物 中叶绿体基因组大多为母系遗传,与核基因组和核 糖体基因组相比,叶绿体基因组较小,在高等植物 中有 120~220 kb。由于其具有基因组所含的功能基 因数目少和突变率较低的特点,在植物系统进化与 谱系地理学中常作为优良的遗传变异标记(Palmer, 1985; Wolfe et al., 1987; 汪小全和洪德元, 1997)。 基于物种叶绿体基因组的结构及组成等分析,还可 以开展更深入的生物信息学、群体遗传学等研究 (Cai et al., 2008; Guisinger et al., 2011; Liang et al., 2019; 余涛 等,2022)。

丽江棱子芹(Pleurospermum foetens) 隶属伞形科 (Apiaceae) 芹亚科(Apioideae) 棱子芹属(Pleurospermum) , 为多年生草本植物 , 株高 10~30 cm , 茎、叶 和花序常带紫色,有奇臭味(She et al., 2005),因此 也称臭棱子芹。丽江棱子芹是中国特有高山植物, 主要分布于横断山区域与云南高原,生境多为海拔 4 000 m 以上的高山流石滩,是高山特殊冰缘生境植 物之一。横断山区域作为生物多样性研究热点区域 之一,近年来被划入了"天空岛"范围(He and Jiang, 2014。"天空岛"因海拔、生境与山体之间的距离 等原因使"岛"上生长的物种产生地理隔离,限制了 世代中个体或种群的扩散与传播,使不同的"岛屿" 间物种交流减少,易产生遗传漂变,因此"天空岛" 是很好的研究物种遗传机制及扩散历史的区域。丽 江棱子芹作为横断山区域的典型冰缘带植物,目前 仅对其细胞分类学、花粉形态与核基因等进行了研 究(张勇 等,2013; 王会朋 等,2014; 孙文远 等, 2020),还未对其叶绿体基因进行过具体描述与分析。丽江棱子芹所属的棱子芹属的分类一直受到争议,但这些分类研究大多依赖于 ITS、叶绿体片段与形态学,很少基于叶绿体基因组对其属下物种及近缘种开展系统发育研究。因此本研究采用高通量测序方法,通过组装和注释对丽江棱子芹叶绿体基因组的组成、结构及系统发育等进行分析,探究丽江棱子芹的叶绿体基因组结构,可为丽江棱子芹的谱系地理学、棱子芹属及其近缘属的系统发育与亲缘关系提供理论基础。

1 结果

1.1 丽江棱子芹叶绿体基因组结构与特征

丽江棱子芹叶绿体基因组结构为典型的四分体 结构(图1),其全长 155 057 bp,GC 总含量为 38.0%, 碱基A占30.7%, 碱基C占19.3%, 碱基G 占 18.7%, 碱基 T 占 31.3%。其中, LSC 区长 85 579 bp , SSC 区长 17 418 bp , 二者被两段长度为 26 030 bp 的反向重复序列 IRa 和 IRb 分隔。IR 区 的 GC 含量为 42.9%, 明显高于 LSC 区(36.2%)与 SSC 区的(32.4%)。丽江棱子芹叶绿体基因组包含 87 个蛋白编码基因(protein coding genes, PCGs)、 8 个核糖体 RNA(rRNA) 基因和 39 个转运 RNA(tR-NA) 基因。87 个蛋白编码基因被分为三个大类。第 一类是光合作用基因,第二类是自我复制基因,第 三类其他基因和未知功能基因(表1)。其中核糖体 大亚基基因 rpl23 和 rpl2,核糖体小亚基基因 rps12 和 rps7,转运 RNA 基因 trnA-UGC、trnI-CAU、trnI-GAU、trnL-CAA、trnN-GUU、trnR-ACG、trnR-CCG 和 trnV-GAC, NADH 脱氢酶亚基基因 ndhB,未知功能 基因 ycf15、ycf2 和 4 个核糖体 RNA 基因均有 2 次拷 贝,其余基因为单拷贝基因。



根据基因功能进行颜色编码。

Color coding based on gene function.

图 1 丽江棱子芹叶绿体基因组图谱

Figure 1 Gene map of chloroplast genome of Pleurospermum foetens

表 1 丽江棱子芹叶绿体基因组注释基因信息

Table 1 Gene annotation of the chloroplast genome of Pleurospermum foetens

功能基因分类 Functional gene classification	基因种类 Category of genes	基因名称 Gene name
光合作用基因 Genes for photosynthesis	ATP 合成酶亚基 Subunits of ATP synthase	atpA , $atpB$, $atpE$, $atpF$, $atpH$, $atpI$
	光系统Ⅱ亚基 Subunits of photosystem Ⅱ	psbA , $psbB$, $psbC$, $psbD$, $psbE$, $psbF$, $psbH$, $psbJ$, $psbK$, $psbL$, $psbM$, $psbN$, $psbT$, $psbZ$, $yef3$
	NADH 脱氢酶亚基 Subunits of NADH-dehydrogenase	$ndhA$, $ndhB^{^{\ast }}$, $ndhC$, $ndhD$, $ndhE$, $ndhF$, $ndhG$, $ndhH$, $ndhI$, $ndhJ$, $ndhK$
	细胞色素 b/f 复合体亚基 Subunits of cytochrome b/f complex	petA , $petB$, $petD$, $petG$, $petL$, $petN$
	光系统 I 亚基 Subunits of photosystem I	psaA , $psaB$, $psaC$, $psaI$, $psaJ$
	二磷酸核酮糖羧化酶大亚基 Subunit of rubisco	rbeL

续表 Continuing table

功能基因分类	基因种类	基因名称
Functional gene classification	Category of genes	Gene name
自我复制基因	核糖体 RNA 基因	rrn16* , rrn23* , rrn4. 5* , rrn5*
Self replication genes	Ribosomal RNA genes	
	核糖体大亚基	rpl14 , rpl16 , rpl2* , rpl20 , rpl22 , rpl23* , rpl32 , rpl33 , rpl36
	Large subunit of ribosome	
	DNA 依赖性 RNA 聚合酶	rpoA , $rpoB$, $rpoC1$, $rpoC2$
	DNA dependent RNA polymerase	
	核糖体小亚基	rps11 ,rps12* ,rps14 ,rps15 ,rps16 ,rps18 ,rps19 ,rps2 ,rps3 ,rps4 ,
	Small subunit of ribosome	rps7* , rps8
	转运 RNA 基因	trnA-UGC* , trnC-GCA , trnD-GUC , trnE-UUC , trnF-GAA , trnfM-
	Transfer RNA genes	CAU , trnG-GCC , trnG-UCC , trnH-GUG , trnI-CAU* , trnI-GAU* ,
	-	trnK-UUU , trnL-CAA* , trnL-UAA , trn-UAG , trnM-CAU , trnN-
		GUU*, trnP-UGG, trnQ-UUG, trnR-ACG*, trnR-CCG*, trnR-UCU,
		trnS-GCU , trnS-GGA , trnS-UGA , trnT-GGU , trnT-UGU , trnV-GAC* ,
		tmV-UAC , tmW-CCA , tmY-GUA
		accD
共世奉囚 Other genes	乙酰辅酶 A 按比較业基 Subunit of acetyl CoA carboxylase	accD
Other genes	c 型细胞色素合成基因	4
		ccsA
	c type cytochrom synthesis gene 包膜蛋白	4
		cem A
	Envelop membrane protein	l D
	ATP 依赖的蛋白酶亚基 P	clpP
	ATP dependent protease subunit P	· a
	翻译起始因子	infA
	Translational initiation factor	.W
	成熟酶	matK
	Maturase	A. A. A. A.
未知功能基因	开放阅读框	$yef1$, $yef2^*$, $yef4$, $yef15^*$
Unknown function genes	Open reading frames	

注: * 为两次拷贝。 Note: * is two copies.

1.2 丽江棱子芹叶绿体基因组的密码子偏好性

密码子是蛋白质合成过程中起着关键作用的三 联体碱基。在丽江棱子芹叶绿体基因组的分析中, 87 个蛋白编码基因共编码 26 075 个密码子,在这些 密码子中,编码异亮氨酸 Ile 的 ATT 数量最多,半胱氨酸 Cys 的 TGC 数量是除终止子外编码最少的; 3 个终止密码子中 TAA 在蛋白编码基因中使用最多(TAA: 50.6%; TAG: 26.4%; TGA: 23.0%)(表2)。

表 2 丽江棱子芹叶绿体全基因组的密码子使用频率

Table 2 Codons usage frequency of the complete chloroplast genome of Pleurospermum foetens

		该氨基酸内	总氨基酸				该氨基酸内	总氨基酸	
密码子	氨基酸	占比/%	中频率	数量	密码子	氨基酸	占比/%	中频率	数量
Codon	Amino acid	The internal frequency	Frequency in	Number	Codon	Amino acid	The internal frequency	Frequency in	Number
		of this amino acid/%	all amino acid				of this amino acid/%	all amino acid	
TGA	*	23. 0	0. 767	20	CGA	Arg	23. 0	14. 113	368
TAG	*	26. 4	0. 882	23	CAT	Leu	13.7	14. 382	375
TAA	*	50. 6	1. 687	44	TCA	Ser	19. 2	14. 765	385
TGC	Cys	24. 4	2. 646	69	AGT	Ser	19. 4	14. 919	389

续表 Continuing table

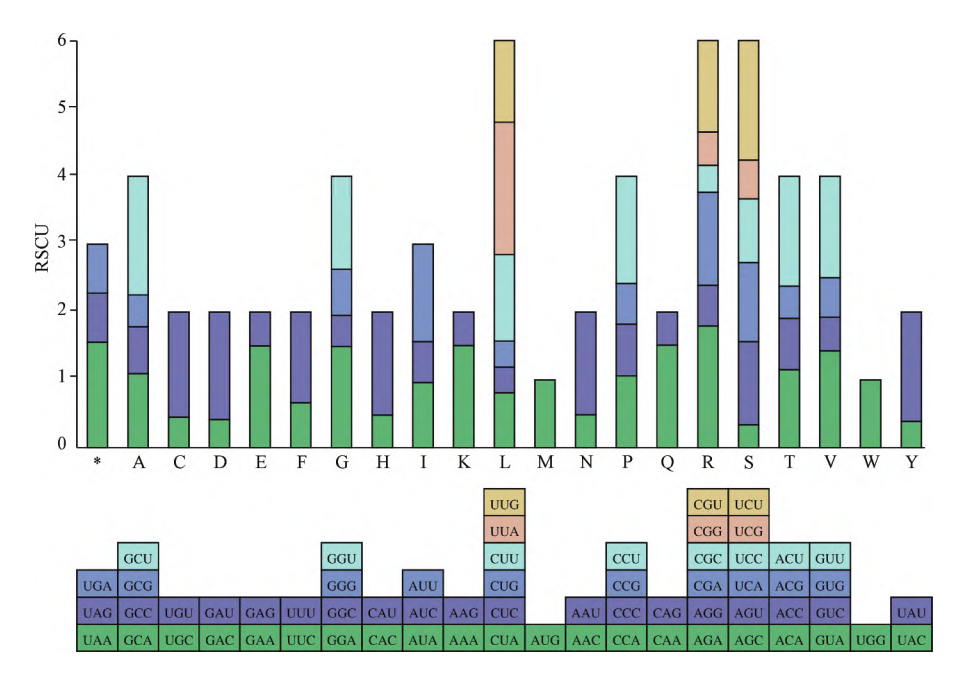
		该氨基酸内	总氨基酸				该氨基酸内	总氨基酸	
密码子	氨基酸	占比/%	中频率	数量	密码子	氨基酸	占比/%	中频率	数量
Codon	Amino acid	The internal frequency	Frequency in	Number	Codon	Amino acid	The internal frequency	Frequency in	Number
		of this amino acid/%	all amino acid				of this amino acid/%	all amino acid	
CGC	Arg	6. 4	3. 912	102	GCA	Ala	27. 8	15. 034	392
AGC	Ser	5. 9	4. 564	119	ACA	Thr	29. 2	15. 149	395
CGG	Arg	8. 4	5. 177	135	CCT	Pro	38. 5	16. 453	429
CAC	His	24. 7	5. 906	154	ATC	Ile	20. 7	17. 335	452
GCG	Ala	11. 5	6. 213	162	TGG	Trp	100. 0	17. 45	455
AGG	Arg	10. 2	6. 29	164	CAT	His	75. 3	17. 987	469
CCG	Pro	14. 8	6. 328	165	AGA	Arg	30. 5	18. 725	488
ACG	Thr	12. 3	6. 405	167	GTA	Val	35. 5	19. 367	505
GTC	Val	12. 8	6. 98	182	TTC	Phe	35. 2	19. 981	521
CTG	Leu	6. 7	7. 018	183	GTT	Val	37. 1	20. 288	529
TAC	Tyr	19. 4	7. 21	188	ACT	Thr	39. 3	20. 403	532
CTC	Leu	7. 0	7. 325	191	TTG	Leu	20. 1	21. 131	551
GGC	Gly	10. 9	7. 517	196	TCT	Ser	29. 0	22. 282	581
TCG	Ser	9.8	7. 555	197	CTT	Leu	21.8	22. 857	596
GTG	Val	14. 6	7. 977	208	GGT	Gly	33. 4	23. 011	600
TGT	Cys	75. 6	8. 207	214	GCT	Ala	42. 8	23. 164	604
GAC	Asp	20. 5	8. 207	214	ATG	Met	100. 0	23. 241	606
CCC	Pro	19. 4	8. 284	216	GGA	Gly	38. 3	26. 424	689
CAG	Gln	25. 1	9. 012	235	CAA	Gln	74. 9	26. 846	700
GCC	Ala	17. 9	9. 664	252	ATA	Ile	32. 3	27. 076	706
ACC	Thr	19. 1	9. 933	259	TAT	Tyr	80. 6	30. 029	783
CCA	Pro	27. 2	11. 62	303	GAT	Asp	79. 5	31. 908	832
AAC	Asn	24. 7	11. 735	306	TTA	Leu	30. 8	32. 368	844
GGG	Gly	17. 4	12. 004	313	AAT	Asn	75. 3	35. 743	932
TCC	Ser	16. 5	12. 694	331	TTT	Phe	64. 8	36. 855	961
CGT	Arg	21.5	13. 193	344	GAA	Glu	74. 1	37. 852	987
GAG	Glu	25. 9	13. 231	345	AAA	Lys	73. 7	39. 271	1 024
AAG	Lys	26. 3	13. 998	365	ATT	Ile	47. 1	39. 463	1 029

注:*表示终止密码子。

Note: * represents stop codon.

由于密码子的简并性,每种蛋白质对密码子的选择不平等,因此,密码子的选择具有偏好,这种情况叫作密码子的偏好性(codon usage bias)(Hershberg and Petrov, 2008)。如果密码子使用没有偏好,则该密码子的相对同义密码子使用度(relative synonymous codon usage, RSCU)等于1。当某一密码子

的 RSCU 值大于 1 ,则表明其使用频率相对较高(赵耀 等 ,2008)。丽江棱子芹叶绿体基因组各氨基酸的 RSCU 分析中 ,RSCU 值最高的为 UUA ,最低的是 AGC(图 2)。在 RSCU 大于 1 的 30 个氨基酸中 ,除 Leu(UUG) 对应密码子是 C/G 结尾外 ,其他均以 A/U 结尾(表 3)。



横坐标表示 20 个氨基酸和终止子,纵坐标表示 RSCU 值;每个氨基酸的不同颜色对应下面相同颜色的密码子;A 表示丙氨酸(Ala),C 表示半胱氨酸(Cys),D 表示天冬氨酸(Asp),E 表示谷氨酸(Glu),F 表示苯丙氨酸(Phe),G 表示甘氨酸(Gly),H 表示组氨酸(His),I 表示异亮氨酸(Ile),K 表示赖氨酸(Lys),L 表示亮氨酸(Leu),M 表示甲硫氨酸(Met),N 表示天冬酰胺(Asn),P 表示脯氨酸(Pro),Q 表示谷氨酰胺(Gln),R 表示精氨酸(Arg),S 表示丝氨酸(Ser),T 表示苏氨酸(Thr),V 表示缬氨酸(Val),W 表示色氨酸(Trp),Y 表示酪氨酸(Tyr);*表示终止密码子。

The abscissa represents 20 amino acids and terminators , while the ordinate represents the RSCU value; The different colors of each amino acid correspond to the codon of the same color below; A represents alanine (Ala) , C represents cysteine (Cys) , D represents asparticacid (Asp) , E represents glutamicacid (Glu) , F represents phenylalanine (Phe) , G represents glycine (Gly) , H represents histidine (His) , I represents isoleucine (Ile) , K represents lysine (Lys) , L represents leucine (Leu) , M represents methionine (Met) , N represents asparagine (Asn) , P represents proline (Pro) , Q represents glutamine (Gln) , R represents arginine (Arg) , S represents serine (Ser) , T represents threonine (Thr) , V represents valine (Val) , W represents tryptophan (Trp) , Y represents tyrosine (Tyr); * represents stop codon.

图 2 丽江棱子芹基因组各氨基酸的 RSCU 分析

Figure 2 RSCU analysis of each amino acid in the chloroplast genome of *Pleurospermum foetens*

表 3 丽江棱子芹叶绿体全基因组的 RSCU 统计

Table 3	RSCU statistics of the complete	chioropiast genome of Pieurospermum Joetens
		与 其秘统它

氨基酸缩写 Amino acid abbreviation	氨基酸 Amino acid	密码子 Codon	RSCU	氨基酸缩写 Amino acid abbreviation	氨基酸 Amino acid	密码子 Codon	RSCU
S	Ser	AGC	0.349 0	M	Met	AUG	1.0000
Y	Tyr	UAC	0. 383 6	W	Trp	UGG	1.0000
L	Leu	CUC	0. 387 3	P	Pro	CCA	1.059 2
L	Leu	CUG	0. 389 8	A	Ala	GCA	1.093 2
R	Arg	CGC	0.402 6	S	Ser	UCA	1. 153 7

续表 Continuing table

氨基酸缩写 Amino acid abbreviation	氨基酸 Amino acid	密码子 Codon	RSCU	氨基酸缩写 Amino acid abbreviation	氨基酸 Amino acid	密码子 Codon	
D	Asp	GAC	0. 413 9	Т	Thr	ACA	
С	Cys	UGC	0. 454 5	L	Leu	UUG	
G	Gly	GGC	0. 456 6	S	Ser	AGU	
T	Thr	ACG	0. 471 8	L	Leu	CUU	
A	Ala	GCG	0. 475 2	R	Arg	CGU	
Q	Gln	CAG	0. 484 1	F	Phe	UUU	
Н	His	CAC	0. 485 0	G	Gly	GGU	
R	Arg	CGG	0.490 2	R	Arg	CGA	
N	Asn	AAC	0. 491 1	V	Val	GUA	
V	Val	GUC	0.493 0	I	Ile	AUU	
Е	Glu	GAG	0.4966	G	Gly	GGA	
K	Lys	AAG	0. 501 7	K	Lys	AAA	
V	Val	GUG	0. 571 0	*	Ter	UAA	
3	Ser	UCG	0. 576 9	E	Glu	GAA	
₹	Arg	AGG	0.595 2	N	Asn	AAU	
)	Pro	CCG	0. 598 1	V	Val	GUU	
	Ile	AUC	0.6056	Н	His	CAU	
F	Phe	UUC	0.665 6	Q	Gln	CAA	
G	Gly	GGG	0.6812	С	Cys	UGU	
A	Ala	GCC	0.6988	P	Pro	CCU	
*	Ter	UGA	0.712 5	D	Asp	GAU	
P	Pro	CCC	0.7643	Т	Thr	ACU	
Γ	Thr	ACC	0.768 3	Y	Tyr	UAU	
*	Ter	UAG	0. 787 5	A	Ala	GCU	
L	Leu	CUA	0. 797 2	S	Ser	UCU	
5	Ser	UCC	0. 940 1	R	Arg	AGA	
I	Ile	AUA	0. 966 5	L	Leu	UUA	

注: * 表示终止密码子。

Note: * represents stop codon.

1.3 丽江棱子芹叶绿体基因组的重复序列与 SSR 分析

重复序列可分为串联重复序列(tandam repeat sequence) 和散在重复序列(interpersed repeat sequence) 两类。通过 TRF 软件预测到的串联重复序列共 23 个,长 1 055 bp,其中长度最小的为 24 bp,

最大的为 97 bp ,31~40 bp 的重复序列最多 ,有 6 个 (表 4)。利用 REPuter 软件进行散在重复序列分析 (表 5),在丽江棱子芹叶绿体基因组中发现了 17 个散在重复,全部是正向重复序列(forward repeat ,F),未检测到其他类型重复序列。

表 4 丽江棱子芹叶绿体全基因组的串联重复序列

Table 4 Tandem repeat sequence across the complete chloroplast genome of Pleurospermum foetens

序号	重复单元长度/bp	重复单元数量	重复序列大小/bp	所在位置
Order number	Repeating units length/bp	Repeating units number	Repeating sequence size/bp	Location
1	17	2. 5	41	IGS
2	20	2. 0	39	IGS
3	20	2. 0	39	IGS
4	49	2. 0	97	rpoC2 , IGS($rpoC2$ 、 $rpoC1$)
5	17	2. 1	34	IGS
6	12	2. 2	25	IGS

续表 Continuing table

序号	重复单元长度/bp	重复单元数量	重复序列大小/bp	所在位置
Order number	Repeating units length/bp	Repeating units number	Repeating sequence size/bp	Location
7	13	2. 0	25	trnL-UAA
8	17	2. 0	33	IGS
9	24	1.9	45	IGS
10	21	2. 0	40	rps18
11	19	2. 0	37	$psbT$, IGS($psbT \setminus psbN$)
12	15	2. 1	30	petB(intron)
13	24	2. 1	49	IGS
14	21	3. 2	67	ycf2
15	15	3.0	44	ycf2
16	9	5. 9	52	ycf2
17	18	3.3	58	ycf2
18	12	2. 1	24	IGS
19	18	3.3	58	ycf2
20	9	5. 9	52	ycf2
21	15	3.0	44	ycf2
22	21	2. 6	53	ycf2
23	19	3.4	69	ycf2

注: 括号中的 IGS 表示内部指导序列, intron 表示内含子区域。

Note: IGS in parentheses indicates the internal guidance sequence, and intron indicates the intron region.

表 5 丽江棱子芹叶绿体基因组散在重复序列

Table 5 Interspersed repeat sequences in the complete chloroplast genome of Pleurospermum foetens

重复起始点1	重复类型	大小/bp	重复起始点2	E 值	所在基因名称	基因区域
Repeat start 1	Repeat type	Size/bp	Repeat start 2	E value	Gene name of location	Region of gene
90 994	F	30	91 009	5. 28E-07	ycf2	IRb
149 597	\mathbf{F}	30	149 612	5. 28E-07	ycf2	IRa
8 989	\mathbf{F}	30	36 623	2. 30E-05	$psbI$, $trnS ext{-}GCU(\ IGS)$ 、	IRb , LSC
					$psbC$, $trnS ext{-}UGA(\ IGS)$	
39 846	\mathbf{F}	30	42 070	6. 43E-04	psaB 、 $psaA$	LSC
89 816	\mathbf{F}	30	89 858	6. 43E-04	ycf2	IRb
92 283	\mathbf{F}	30	92 301	6. 43E-04	ycf2	IRb
150 748	\mathbf{F}	30	150 790	6. 43E-04	ycf2	IRa
85 304	\mathbf{F}	31	85 328	1.78E-04	IGS	IRb
92 261	\mathbf{F}	31	92 297	1.78E-04	ycf2	IRb
108 474	\mathbf{F}	31	132 131	1. 78E-04	IGS	IRb , IRa
148 312	\mathbf{F}	31	148 348	1.78E-04	ycf2	IRa
21 317	\mathbf{F}	36	21 366	2. 76E-07	rpoC2、rpoC1(IGS)	LSC
44 841	F	39	99 301	2. 62E-12	ycf3(intron)	LSC , IRb
					rps12(intron)	
44 841	\mathbf{F}	39	121 872	2. 62E-12	trnL-UAA(intron)	SSC , LSC
					ndhA(intron)	
99 299	\mathbf{F}	42	121 870	3. 50E-16	rps12(intron)	IRb , SSC
					ndhA(intron)	
92 257	\mathbf{F}	49	92 275	1. 06E-14	ycf2	IRb
148 308	F	49	148 326	1.06E-14	ycf2	IRa

简单重复序列(simple sequence repeat, SSR) 苷酸重复序列 27 个, 双核苷酸重复序列 4 个, 复分析(表 6) 共检测到 SSR 位点 34 个, 其中单核 合型重复序列 3 个, 未检测到三/四/五核苷酸序

列。检测结果中 88. 2% 的 SSR 位于内部指导序 频率较高,在 27 个单核苷酸 SSR 中,包含 A 碱列(internal guide sequence, IGS) 和内含子(in- 基的有 12 个,包含 T 碱基的有13 个。tron) 等非编码区域,且 A/T 碱基在 SSR 中出现

表 6 丽江棱子芹叶绿体全基因组 SSR 信息

Table 6 Information of SSR in the complete chloroplast genome of Pleurospermum foetens

序号	重复类型	简单重复序列	大小	起始	终止	位置
Order number	SSR type	SSR	Size	Start	End	Location
1	p1	(A) 11	11	6 649	6 659	IGS
2	р1	(A) 10	10	6 962	6 971	IGS
3	p1	(A) 11	11	7 592	7 602	IGS
4	\mathbf{c}	(T) 10a(T) 12	23	9 494	9 516	IGS
5	p1	(T) 10	10	13 255	13 264	intron
6	р1	(A) 13	13	13 867	13 879	IGS
7	р1	(T) 10	10	15 055	15 064	IGS
8	\mathbf{c}	(T) 12c(A) 12	25	16 954	16 978	rps2
9	р1	(T) 14	14	19 177	19 190	rpoC2
10	р1	(A) 14	14	23 262	23 275	intron
11	р1	(T) 12	12	26 911	26 922	IGS
12	р1	(T) 10	10	33 285	33 294	IGS
13	р1	(A) 11	11	33 486	33 496	IGS
14	p2	(AT) 6	12	36 937	36 948	IGS
15	\mathbf{c}	(T) 10caaaatttttatttetateeegateeeaaateatgt gtetttetegtaagattgagageaat (A) 10 $$	82	45 433	45 514	intron
16	p2	(AT) 7	14	49 800	49 813	IGS
17	p1	(T) 10	10	55 447	55 456	atpB
18	р1	(A) 13	13	56 025	56 037	IGS
19	p1	(T) 11	11	60 568	60 578	IGS
20	p1	(T) 13	13	83 564	83 576	intron
21	p1	(T) 17	17	85 647	85 663	IGS
22	p1	(A) 10	10	97 671	97 680	IGS
23	p1	(T) 13	13	99 679	99 691	IGS
24	p1	(T) 12	12	103 435	103 446	intron
25	p1	(G) 10	10	104 664	104 673	intron
26	p1	(T) 10	10	117 120	117 129	IGS
27	p2	(TA) 7	14	120 287	120 300	IGS
28	p2	(AT) 6	12	120 531	120 542	IGS
29	p1	(A) 11	11	128 202	128 212	ycfI
30	p1	(C) 10	10	135 964	135 973	intron
31	p1	(A) 12	12	137 191	137 202	intron
32	p1	(A) 13	13	140 946	140 958	IGS
33	р1	(T) 10	10	142 957	142 966	IGS
34	р1	(A) 17	17	154 974	154 990	IGS

注: p 表示单个 SSR 类型 其后的数字 1 和 2 表示构成序列的碱基个数; c 表示复合 SSR 类型。

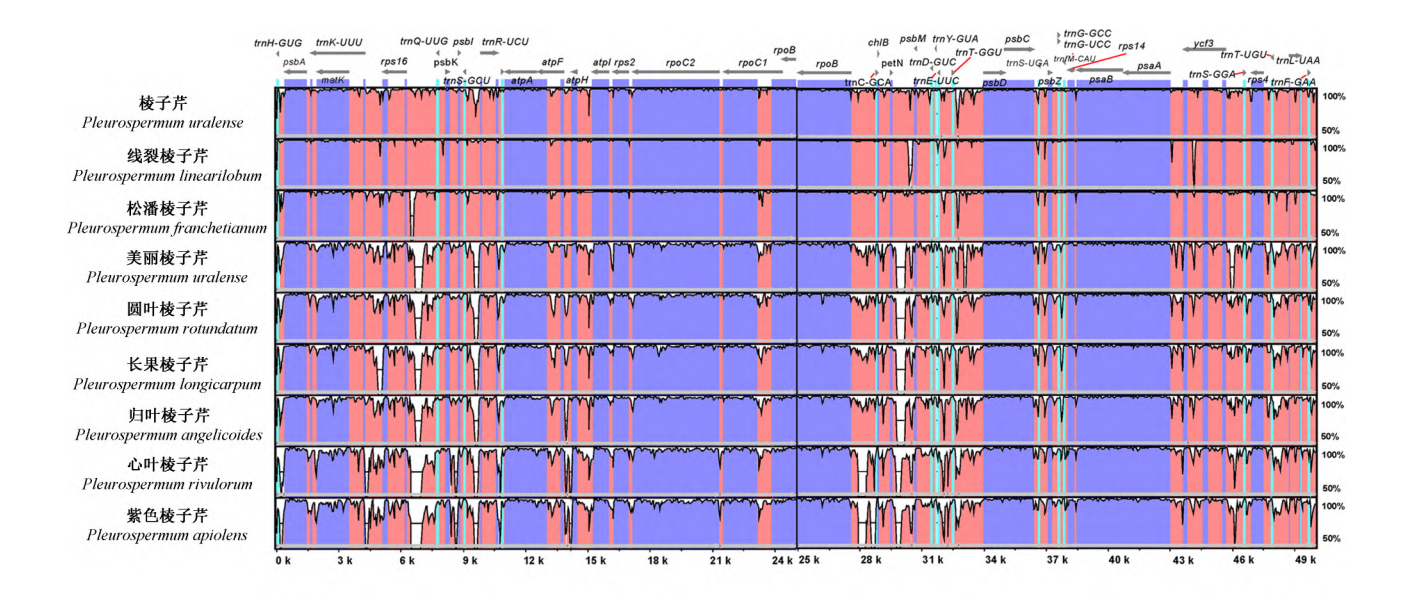
Note: p indicates single SSR type, followed by the numbers 1 and 2 indicating the number of bases forming the sequence; c indicates composite SSR type.

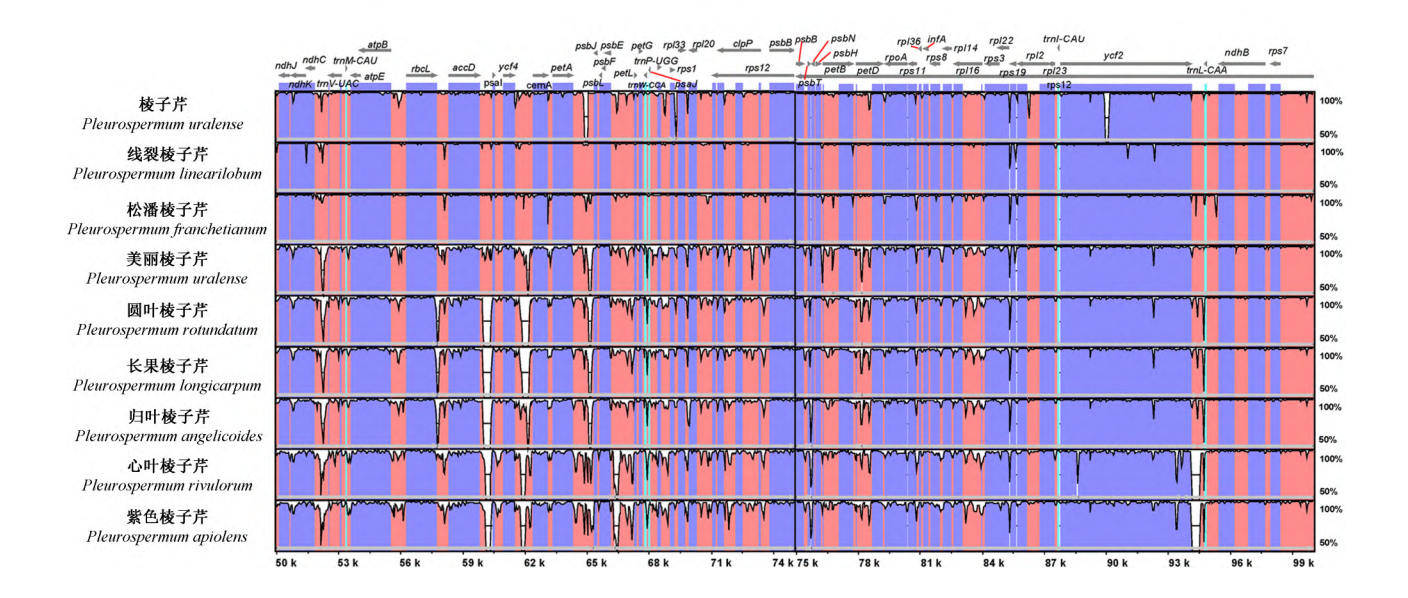
1.4 棱子芹属植物种间叶绿体基因组比较与 IR 区 边界分析

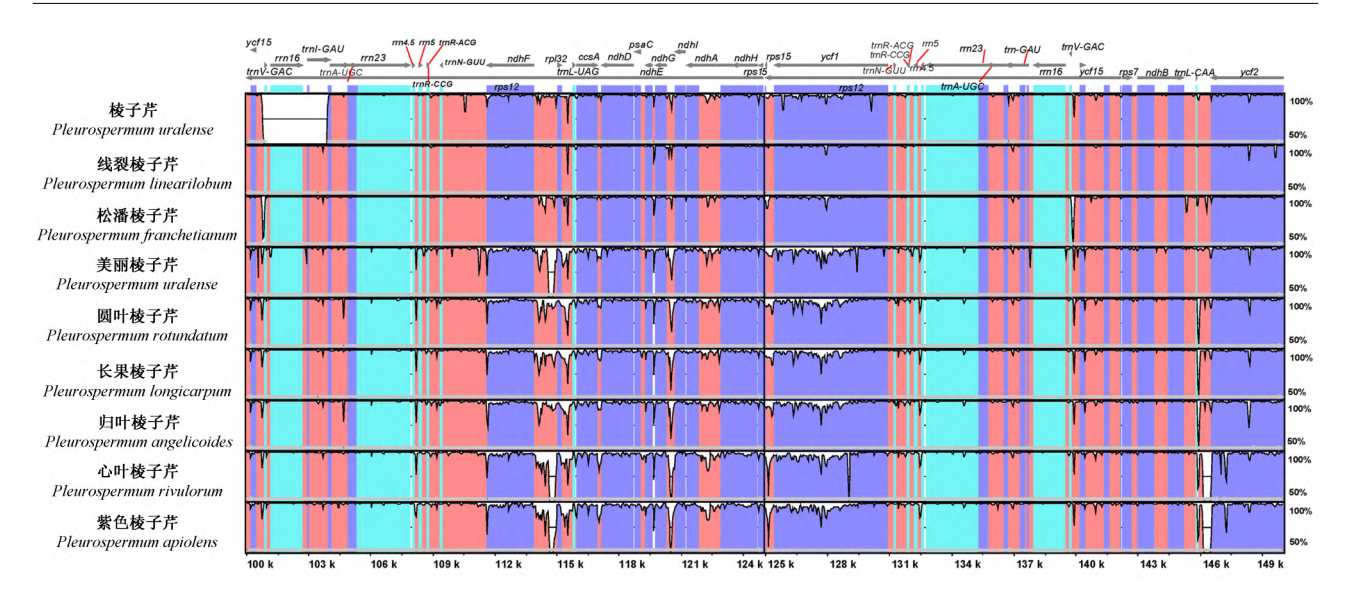
将丽江棱子芹叶绿体基因组与 NCBI 数据库中已提交的棱子芹属植物叶绿体基因组进行比较,发现 10 种棱子芹属植物种间的叶绿体基因组大小、反向重复区大小及 GC 含量相近,基因数目和类型相似。叶绿体基因组最大的是长果棱子芹(*P. longicarpum*),长 157 693 bp,最小的为紫色棱子芹(*P. apiolens*),长 146 554 bp,两者相差 11 139 bp。

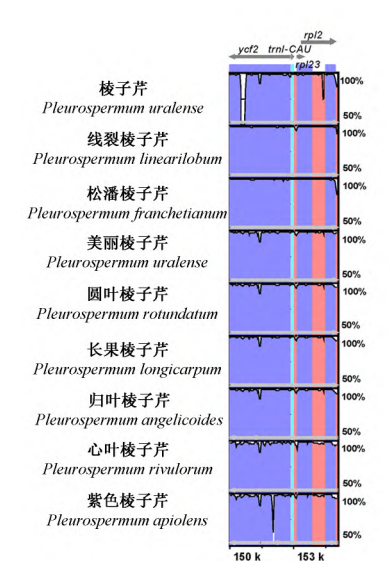
除心叶棱子芹(P. rivulorum) 与紫色棱子芹 IR 区较小外,其余几种的 IR 区大小均在 26 kb 左右。

通过 mVISTA 软件对棱子芹属植物进行叶绿体基因组比对。结果如图 3 所示,非编码区较编码区变异大,IR 区的差异明显小于 LSC 区和 SSC 区的,表明 IR 区在进化过程中保守度更高; rRNA 基因变异位点较少,保守度更高。另外,棱子芹(P. uralense)、丽江棱子芹、线裂棱子芹(P. linearilobum)和松潘棱子芹(P. franchetianum)这四种植物在变异位点的相似度较其他几个种更高。









横坐标为序列位置,纵坐标为相似度;灰色箭头表示基因转录方向;蓝色表示外显子;青色表示内含子;红色表示非编码区。

The x-axis is the position of sequences, the y-axis is similarity; Gray arrows represents the direction of gene transcription; Blue represents exon; Cyan represents intron; Red represents noncoding sequences.

图 3 棱子芹属植物叶绿体全基因组比较

Figure 3 Comparison of the complete chloroplast genomes of *Pleurospermum*

对 10 种棱子芹属植物叶绿体基因组的 IR 区与 LSC 区、SSC 区进行边界分析,其结果如图 4 显示, 10 种植物叶绿体基因组序列的长度差异较小,除心叶棱子芹、紫色棱子芹和美丽棱子芹(*P. amabile*)的边界基因的位置和类型有较大的差异外,其余几种基因组结构类似。在边界 LSC/IRb(JLB)中分布的基因包括 *rps19、rpl22* 和 *rpl2、ycf2*。除心叶棱子芹、紫色棱子芹的 JLB 边界基因为横跨两区的 *ycf2* 基因,其余均为 *rps19* 基因。其中归叶棱子芹(*P. an*-

gelicoides) 的 rps19 基因完全位于 LSC 区。在边界 IRb/SSC(JSB) 上分布的基因均为 ndhF, 但基因的位置与大小有差异,其中美丽棱子芹的 ndhF 基因距离边界较远,并且基因大小明显小于其他种的。在边界 SSC/IRa(JSA) 上的边界基因均为 ycf1,基因横跨两区,长度与位置也大致相似。在 IRa/LSC (JLA) 边界上,心叶棱子芹、紫色棱子芹的边界基因为 trnL,距离上有较大差异。长果棱子芹的边界基因为 rpl2,其余均为 trnH 基因。

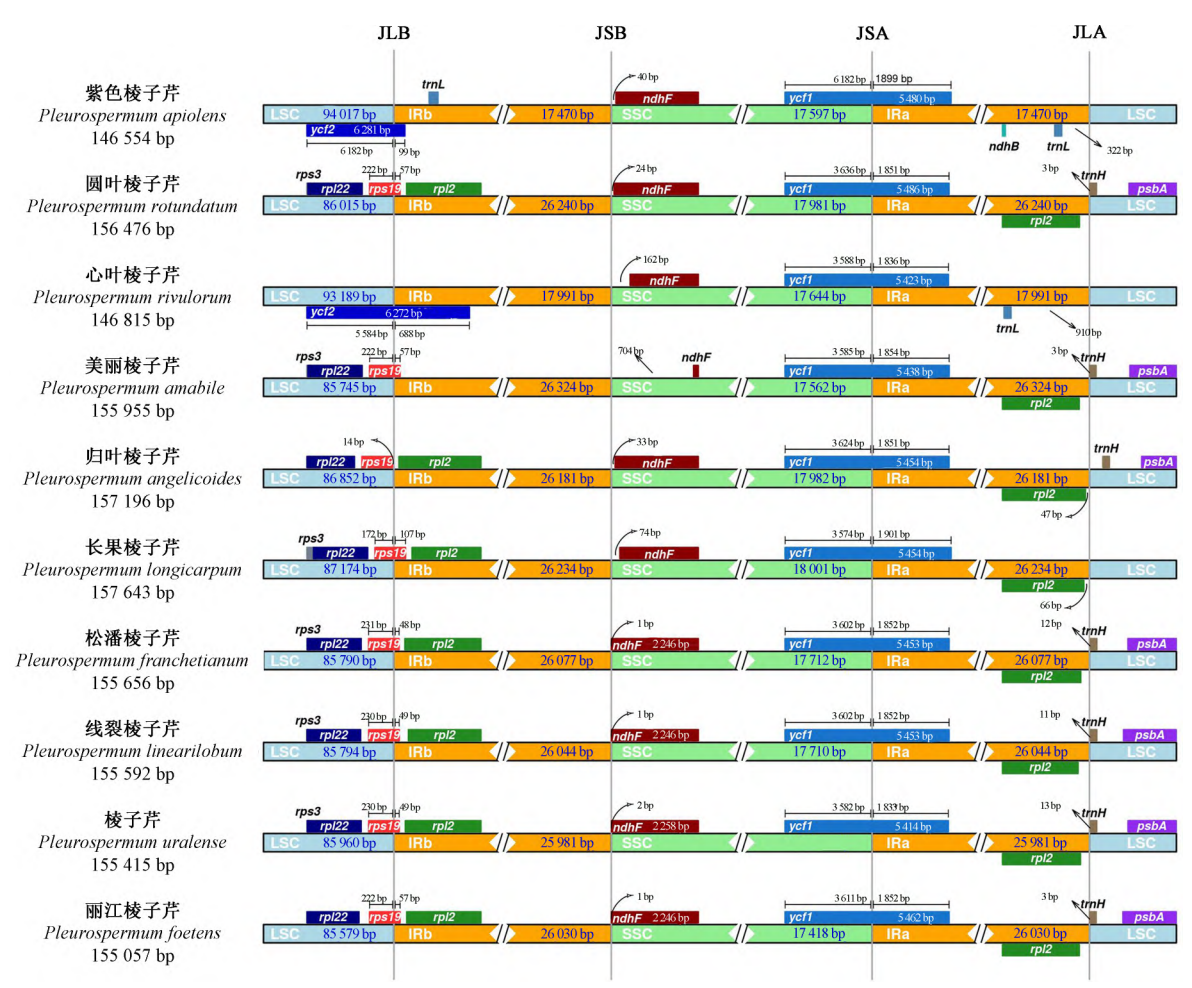


图 4 棱子芹属植物叶绿体基因组 LSC、SSC 和 IR 边缘区的比较

Figure 4 Comparison of LSC, SSC, and IR border regions of the chloroplast genomes of Pleurospermum

1.5 系统进化分析

选取包括丽江棱子芹在内的 20 种植物,以白簕 (Eleutherococcus trifoliatus) 为外类群进行系统进化分析,构建的 ML 树主要分为三大支,棱子芹、松潘棱子芹、丽江棱子芹和线裂棱子芹聚为一支,其中丽江棱子芹与线裂棱子芹的亲缘关系最近,节点处支

持率达到100%;美丽棱子芹、圆叶棱子芹(P. rotundatum)、长果棱子芹和归叶棱子芹聚为一支,其中归叶棱子芹与长果棱子芹亲缘关系更近,节点处支持率为97%;心叶棱子芹和紫色棱子芹聚为一支,距离芹亚科芫荽族(Coriandreae)的芫荽(Coriandrum sativum)更近(图5)。

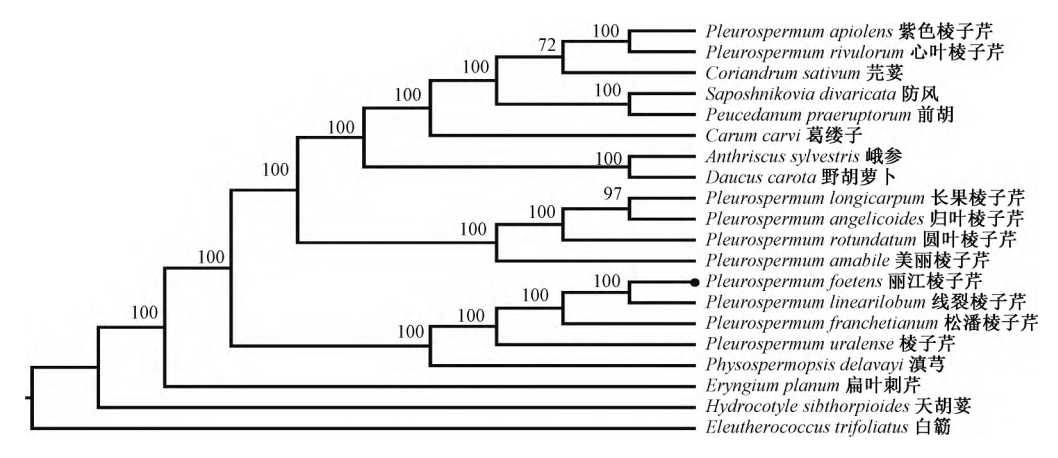


图 5 基于 20 种伞形目物种叶绿体基因组构建的系统发育树 Figure 5 Phylogenetic tree constructed based on the chloroplast genomes of 20 Apiales species

2 讨论与结论

本研究基于高通量技术完成了对丽江棱子芹叶 绿体基因组的测序、组装和注释,研究结果显示, 丽江棱子芹叶绿体基因组全长 155 057 bp , 共编码 87 个基因, GC 含量为 38.0%, 具有典型的四分体 结构。经过统计, 棱子芹属植物的叶绿体基因组长 度变化不大,大多在146~155 kb,其编码基因数量 以及基因组的 GC 含量,与已发表的棱子芹属植物 叶绿体基因组(Guo et al., 2020) 相似, 由此分析棱 子芹属植物叶绿体基因组结构较保守。

密码子偏好性的研究有助于叶绿体基因的表 达,通过基因工程提高某种目的基因的表达量(梁 菲菲,2010)。本文对丽江棱子芹叶绿体基因组密 码子偏好性进行分析,结果表明,编码异亮氨酸 Ile 的 ATT 数量最多,终止密码子的选择也具有偏好 性,使用最多的是TAA。在对丽江棱子芹的基因进 行组学编辑时,可较多地使用这几种密码子。并且, 密码子的偏好性与物种的亲缘关系有关,亲缘关系 近的物种,所偏好的密码子相似。RSCU分析中, RSCU 值大于 1 的相对同义密码子有 30 个,其中以 A/T 碱基结尾的密码子有 29 个,与大多数被子植物 同义密码子组成相似,均为 A/T 结尾,如直刺变豆 菜(Sanicula orthacantha)、苦马豆(Sphaerophysa salsula)、毛籽红山茶(Camellia semiserrata)等(陈志祥 等,2019; 苏丹丹等,2022; 郑倩等,2022)。

SSR 是基因组中 1~6 bp 的核苷酸串联序列,广 泛存在于基因组中。有研究表明位于非编码区的 SSR 比位于编码区的变化更大(Litt and Luty, 1989; Gandhi et al., 2010; 梅抗抗 等, 2016)。目前, 叶绿 体基因组的 SSR 分析在植物属间分类、生物地理学 和群体遗传学的应用研究较为广泛(Bayly et al., 2013; Zhao et al., 2015)。在本文的分析中发现了两 种 cpSSR 类型: 单核苷酸重复和二核苷酸重复,且 这些 SSR 中碱基重复单元大多为 A/T , 重复单元多 位于IGS区。这一结果与伞形科的直刺变豆菜的结 果(陈志祥 等,2019)相似,均为A/T重复多。串联 重复序列与散在重复序列的结果同样显示重复大多 位于 IGS 区,验证了前人研究结果。

在植物叶绿体基因组进化的过程中, IR 边界的 收缩与扩张可以影响植物叶绿体基因组的长度与功 能(Palmer and Thompson, 1982; Chaw et al., 2018), 也有一些物种出现了 IR 区部分缺失(Saski et al., 2005; 唐萍, 2015), 但本研究中棱子芹属植物的 IR

区结构保守,均未发生收缩或扩张。10种植物的边 界基因均有 ndhF 与 ycf1,除心叶棱子芹与紫色棱子 芹在边界基因的类型、大小和位置有差异外,其余 几种棱子芹属植物的 IR 区相似。棱子芹属叶绿体 基因组比对结果显示,非编码区较编码区变异较大, LSC/SSC 区较 IR 区变异较大, 变异区域的 matK、 rpoC1, ycf1, rpoB-psbD, trnV-ndhC, ycf3-psaA, accDcemA、ndhF-ndhD的IGS中变异位点数量较多,这 些差异大的序列可以用作 DNA 条形码备选区域,以 进行棱子芹属的分类鉴定。其中 $matK \setminus ycfl$ 在之前 的研究中被选为陆生植物条形码(CBOL Plant Working Group , 2009; Dong et al., 2015) o

叶绿体基因组的系统发育结果中, 棱子芹属不 能很好地聚为一支,与棱子芹属一直存在分类争议 的情况相同。但总体分支与韦瑾(2020)基于 ITS 分 析所提出的划分标准相似,韦瑾认为棱子芹、松潘棱 子芹、丽江棱子芹和线裂棱子芹属棱子芹族,美丽棱 子芹属于东亚分支,圆叶棱子芹、归叶棱子芹、长果 棱子芹属于一支,紫色棱子芹、心叶棱子芹各一支。 本文中紫色棱子芹与心叶棱子芹聚为一支,二者苞片 为紫色,形态上也有很强的相似性,对于二者的系统 发育位置还需要进行更多采样测序以进行验证。

综上所述,基于叶绿体基因组结构与密码子偏 好性、IR 区及全基因组比对分析可以发现, 丽江棱 子芹的叶绿体基因组较为保守, 棱子芹属的系统进 化关系依旧没有得到明确的界定,因此将来还需要 对更多棱子芹属植物的叶绿体基因组序列进行测 定,并结合形态解剖学、细胞分类学和分子生物学 等多方面来对棱子芹属及其近缘属的系统发育关系 进行研究。

材料与方法

3.1 实验材料

材料采集自云南省迪庆藏族自治州的大雪山垭 口(28°35′44″ N,99°51′33″ E,海拔4471 m),选取 生长状态良好、完整且无虫害脏污的新鲜叶片,采 摘后置于变性硅胶中进行干燥处理,凭证标本(标 本号: NiuMa-147) 保存于中国科学院昆明植物研究 所标本馆。叶绿体基因组数据信息已上传到 NCBI 数据库(索引号为 OP-583945)。

3.2 叶绿体基因组的提取与测序

取已干燥的叶片,采用CTAB 法提取丽江棱子 芹的叶绿体 DNA,利用 1% 琼脂糖凝胶电泳分析 DNA 的纯度和完整性,使用 Qubit® DNA 试剂盒测定 DNA 浓度。利用 Agilent 2100 对文库的插入片段进行检测,待插入片段大小符合预期,使用 Q-PCR 方法对文库的有效浓度进行准确定量,以保证文库质量。质检后利用二代测序技术依靠 Illumina 高通量测序平台 Nova Seq 6000 对基因组测序,PE 读长为 150 bp。最终得到 2 G raw data,Q30 大于 80%。此过程由北京诺禾致源科技股份有限公司完成。

3.3 叶绿体基因组的组装与注释

测序得到的 Clean data 在 Linux 系统下使用 Get Organelle v.1. 7. 5. 2(Jin et al., 2020) 进行组装,输出序列以 FASTA 格式存储。组装结果放入 NCBI 中进行 BLAST 查找相似度最高的序列(线裂棱子芹),利用 CPGAVAS2 在线软件(Shi et al., 2019) 对序列进行注释,在 Geneious 软件(Kearse et al., 2012) 中对注释好的序列中存在问题的密码子位点进行手动校正后上传至 OGDRAW 在线工具(Lohse et al., 2007) 绘制丽江棱子芹的叶绿体基因组环状图谱。

3.4 密码子偏好性与重复序列、SSR 分析

利用 EMBOSS explorer 在线软件(https://www.bioinformatics.nl/emboss-explorer/)、CodonW 软件(Peden,1999)检测丽江棱子芹 cpDNA 的密码子使用频率和相对密码子使用频率。密码子表选择通用密码子表,其他参数默认。使用 REPuter 软件进行正向、反向和回文 3 种类型的重复序列的检测,其中汉明距离设为 3 , 最小重复长度设为 30 bp。利用

Tandem Repeats Finder 软件分析串联重复序列(Benson, 1999; Kurtz et al., 2001)。 利用 MISA 软件 (Thiel et al., 2003) 分析丽江棱子芹叶绿体全基因组 SSR 位点,不同重复单元最低重复次数参数设置为: 单核苷酸重复次数 \geqslant 10, 二核苷酸重复次数 \geqslant 6, 三/四/五核苷酸重复次数 \geqslant 5。

3.5 棱子芹属植物种间基因组比较与 IR 区边界分析

将丽江棱子芹与从 NCBI 下载的已发表的 9 种棱子芹属植物(表 7) 的叶绿体基因组进行比对分析。利用 Microsoft Excel 统计叶绿体基因组的结构信息,使用 mVISTA 在线工具(Mayor et al.,2000) 在 Multi-LAGAN 模式下进行 10 种棱子芹属植物的全基因组比对(丽江棱子芹作为参考,在图中不显示)。利用 IRscope 可视化工具(Amiryousefi et al.,2018)对 IR 区边界进行分析。

3.6 系统进化分析

从 NCBI 数据库下载棱子芹属及其近缘属叶绿体全基因组序列,外类群为白簕,共计 20 条物种数据,在 Geneious 软件中进行序列比对,提取 67 个共有 CDS,序列联合后在 IQ-TREE 软件(Nguyen et al., 2015) 中构建 ML 系统发育树,自举值(bootstrap value)设置为 1 000 以确保系统发育树的稳定性。将建树结果置于 Fig Tree 网站(http://tree.bio.edac.uk/software/figtree/)中进行调整。

表 7 棱子芹属系统发育分析获取自 NCBI 数据库序列号信息

Table 7 Phylogenetic analysis of the genus *Pleurospermum* obtained from the NCBI database accession number information

	物种	NCBI 索引号
	Species	NCBI accession number
丽江棱子芹	Pleurospermum foetens	OP_583945
线裂棱子芹	Pleurospermum linearilobum	NC_060751
松潘棱子芹	Pleurospermum franchetianum	NC_060749
棱子芹	Pleurospermum uralense	NC_033343
美丽棱子芹	Pleurospermum amabile	MT_609922
圆叶棱子芹	Pleurospermum rotundatum	NC_060756
心叶棱子芹	Pleurospermum rivulorum	NC_060753
归叶棱子芹	Pleurospermum angelicoides	NC_060754
长果棱子芹	Pleurospermum longicarpum	NC_060755
紫色棱子芹	Pleurospermum apiolens	NC_060757

作者贡献

张婕妤是本研究的实验设计和实验研究的执行人;张婕妤和俞树良完成数据分析和论文初稿的写作;孙文光参与实验设计和试验结果分析;李志敏和孙文光是项目的构思者及负责人,指导实验设计、数据分析和论文写作与修改。全体作者都已阅读并同意最终的文本。

致谢

感谢中国科学院昆明植物研究所马祥光博士对 野外采样及标本鉴定提供的帮助。

参考文献

- 陈志祥,姚雪莹, Stephen R. Downie,等,2019.直刺变豆菜叶绿体全基因组及其特征.生物多样性,27(4): 366-372. [CHEN Z X, YAO X Y, DOWNIE S R, et al., 2019. Assembling and analysis of *Sanicula orthacantha* chloroplast genome. Biodiversity Science, 27(4): 366-372.]
- 梁菲菲,2010.密码子偏性的影响因素及研究意义.畜牧与饲料科学,31(1): 118-119. [LIANG FF,2010. Influencing factors of codon bias and its research significance. Animal Husbandry and Feed Science, 31(1): 118-119.]
- 梅抗抗,周力,唐开宇,等,2016.油橄榄分子标记及转录组学研究进展.分子植物育种,14(12): 3469-3478. [MEI K K, ZHOU L, TANG K Y, et al., 2016. Application of molecular markers and transcriptomics research progress in olive. Molecular Plant Breeding, 14(12): 3469-3478.]
- 苏丹丹,刘玉萍,刘涛,等,2022.苦马豆叶绿体基因组结构及其特征分析.植物研究,42(3): 446-454. [SU D D, LIU Y P, LIU T, et al., 2022. Structure of chloroplast genome and its characteristics of *Sphaerophysa salsula*. Bulletin of Botanical Research, 42(3): 446-454.]
- 孙文远,孙文光,李志敏,2020.横断山高山冰缘带两种伞形科特有植物的核型分析.云南师范大学学报(自然科学版),40(2):59-64. [SUN W Y,SUN W G,LI Z M,2020. Karyomorphological study of two endemic plants (Apiaceae: *Pleurospermum*) from the alpine subnival belt in Hengduan Mountains. Journal of Yunnan Normal University (Natural Sciences Edition),40(2):59-64.]
- 唐萍, 2015.蝶形花科植物叶绿体基因组研究进展.南方农业学报, 46(1): 21-25. [TANG P, 2015. Advances in chloroplast genome of widely diversified Papillionaceae. Journal of Southern Agriculture, 46(1): 21-25.]
- 汪小全, 洪德元, 1997. 植物分子系统学近五年的研究进展概况. 植物分类学报, 35(5): 465-480. [WANG X Q, HONG D Y, 1997. Progress in molecular systematics of plants in re-

- cent five years. Acta Phytotaxonomica Sinica , 35(5): 465–480.1
- 王会朋,马祥光,郜鹏,等,2014.中国棱子芹属 16 种 1 变种的果实特征及其分类学意义.西北植物学报,34(4):711-719. [WANG HP, MAXG,GAOP, et al., 2014. Fruit anatomical features of sixteen species and one variety of *Pleurospermum*(Apiaceae) in China and their taxonomic significance. Acta Botanica Boreali-Occidentalia Sinica,34(4):711-719.]
- 韦瑾,2020.中国棱子芹属及其近缘类群的系统学研究: 兼论 伞形科药用资源调研,硕士学位论文.昆明: 昆明医科大学. [WEI J,2020. A phylogenetic study of *Pleurospermum* Hoffm. and related Genera in China: investigation of medicinal plants in Apiaceae, Thesis for MS. Kunming: Kunming Medical University.]
- 余涛,蒲芬,管芹,等,2022.南欧大戟叶绿体基因组特征及 其系统发育分析.分子植物育种,20(6): 1828-1837. [YU T,PUF,GUANQ,et al.,2022. Chloroplast genome of Euphorbia peplus L. characteristic and phylogenetic analysis. Molecular Plant Breeding,20(6): 1828-1837.]
- 张勇,刘启新,王利松,等,2013.伞形科棱子芹属花粉形态特征及其演化意义.植物资源与环境学报,22(4): 29-37. [ZHANG Y, LIU Q X, WANG L S, et al., 2013. Pollen morphological characteristics of *Pleurospermum* Hoffm.(Apiaceae) and its evolution significance. Journal of Plant Resources and Environment, 22(4): 29-37.]
- 赵耀,刘汉梅,顾勇,等,2008.玉米 waxy 基因密码子偏好性分析.玉米科学,16(2): 16-21. [ZHAOY, LIUHM, GUY, et al., 2008. Analysis of characteristic of codon usage in waxy gene of *Zea mays*. Journal of Maize Sciences, 16(2): 16-21.]
- 郑倩,童一涵,孔庆博,等,2022.毛籽红山茶叶绿体基因组特征及其系统发育分析.四川农业大学学报,40(4):574-582. [ZHENG Q, TONG Y H, KONG Q B, et al., 2022. Characterization of complete chloroplast genome and phylogenetic analysis of *Camellia trichosperma* Chang. Journal of Sichuan Agricultural University,40(4):574-582.]
- AMIRYOUSEFI A, HYVÖNEN J, POCZAI P, 2018. IRscope: an online program to visualize the junction sites of chloroplast genomes. Bioinform. (Oxf. Engl.), 34(17): 3030-3031.
- BAYLY M J, RIGAULT P, SPOKEVICIUS A, et al., 2013. Chloroplast genome analysis of Australian eucalypts Eucalyptus, Corymbia, Angophora, Allosyncarpia and Stockwellia (Myrtaceae). Mol. Phylogenet. Evol., 69(3): 704–716.
- BENSON G , 1999. Tandem repeats finder: a program to analyze DNA sequences. Nucleic Acids Res , 27(2): 573–580.
- CAI Z Q , GUISINGER M , KIM H G , et al., 2008. Extensive reorganization of the plastid genome of *Trifolium subterraneum* (Fabaceae) is associated with numerous repeated sequences

- and novel DNA insertions. J. Mol. Evol., 67(6): 696-704.
- CBOL Plant Working Group, 2009. A DNA barcode for land plants. Proc. Natl. Acad. Sci. USA, 106 (31): 12794–12797
- CHAW S M , WU C S , SUDIANTO E , 2018. Evolution of gymnosperm plastid genomes. Adv. Bot. Res. 85: 195–222.
- DONG W P, XU C, LI C H, et al., 2015. ycf1, the most promising plastid DNA barcode of land plants. Sci. Rep., 5: 8348.
- GANDHI S G , AWASTHI P , BEDI Y S , 2010. Analysis of SSR dynamics in chloroplast genomes of Brassicaceae family. Bioinformation , 5(1): 16–20.
- GUISINGER M M , KUEHL J V , BOORE J L , et al., 2011. Extreme reconfiguration of plastid genomes in the angiosperm family Geraniaceae: rearrangements , repeats , and codon usage. Mol. Biol. Evol., 28(1): 583-600.
- GUO M J, WEI J, LIU Z W, et al., 2020. The complete chloroplast genome and phylogenetic analysis of *Pleurospermum* amabile Craib & W. W. Smith. Mitochondrial DNA B, 5 (3): 2966-2968.
- HE K , JIANG X L , 2014. Sky Islands of southwest China. I: an overview of phylogeographic patterns. Chin. Sci. Bull., 59 (7): 585-597.
- HERSHBERG R , PETROV D A , 2008. Selection on codon bias. Annu. Rev. Genet. , 42: 287–299.
- JANSEN R K , RAUBESON L A , BOORE J L , et al., 2005. Methods for obtaining and analyzing whole chloroplast genome sequences. Meth. Enzymol., 395: 348-384.
- JIN J J , YU W B , YANG J B , et al. , 2020. GetOrganelle: a fast and versatile toolkit for accurate *de novo* assembly of organelle genomes. Genome Biol. , 21(1): 1–31.
- KEARSE M , MOIR R , WILSON A , et al., 2012. Geneious Basic: an integrated and extendable desktop software platform for the organization and analysis of sequence data. Bioinform. (Oxf. Engl.), 28(12): 1647–1649.
- KURTZ S , CHOUDHURI J V , OHLEBUSCH E , et al., 2001. REPuter: the manifold applications of repeat analysis on a genomic scale. Nucleic Acids Res., 29(22): 4633-4642.
- LIANG C L , WANG L , LEI J , et al. , 2019. A comparative analysis of the chloroplast genomes of four *Salvia* medicinal plants. Engineering , 5(5): 907-915.
- LITT M, LUTY J A, 1989. A hypervariable microsatellite revealed by *in vitro* amplification of a dinucleotide repeat with-

- in the cardiac muscle actin gene. Am. J. Hum. Genet., 44 (3): 397-401.
- LOHSE M, DRECHSEL O, BOCK R, 2007. OrganellarGenome—DRAW (OGDRAW): a tool for the easy generation of high-quality custom graphical maps of plastid and mitochondrial genomes. Curr. Genet., 52(5-6): 267-274.
- MAYOR C, BRUDNO M, SCHWARTZ J R, et al., 2000. VIS— TA: visualizing global DNA sequence alignments of arbitrary length. Bioinform. (Oxf. Engl.), 16(11): 1046–1047.
- NGUYEN L T , SCHMIDT H A , VON HAESELER A , et al., 2015. IQ-TREE: a fast and effective stochastic algorithm for estimating maximum-likelihood phylogenies. Mol. Biol. Evol., 32(1): 268-274.
- PALMER J D , 1985. Comparative organization of chloroplast genomes. Annu. Rev. Genet., 19: 325–354.
- PALMER J D , THOMPSON W F , 1982. Chloroplast DNA rearrangements are more frequent when a large inverted repeat sequence is lost. Cell , 29(2): 537–550.
- PEDEN J F , 1999. Analysis of codon usage , Dissertation for Ph. D. Nottingham: University of Nottingham.
- SASKI C , LEE S B , DANIELL H , et al., 2005. Complete chloroplast genome sequence of *Glycine max* and comparative analyses with other Legume genomes. Plant Mol. Biol., 59(2): 309–322.
- SHE M L , PU F D , PAN Z H , et al. , 2005. Apiaceae (Umbelliferae) //Wu Z Y , Hong D Y , Raven P H , et al. , Flora of China. Beijing & St. Louis: Science Press & Missouri Botanical Garden Press: 14-45.
- SHI L C , CHEN H M , JIANG M , et al. , 2019. CPGAVAS2 , an integrated plastome sequence annotator and analyzer. Nucleic Acids Res. , 47(W1): W65-W73.
- THIEL T , MICHALEK W , VARSHNEY R , et al. , 2003. Exploiting EST databases for the development and characterization of gene-derived SSR-markers in barley (*Hordeum vulgare* L.) . Theor. Appl. Genet. , 106(3): 411-422.
- WOLFE K H , LI W H , SHARP P M , 1987. Rates of nucleotide substitution vary greatly among plant mitochondrial , chloroplast , and nuclear DNAs. Proc. Natl. Acad. Sci. USA , 84 (24): 9054-9058.
- ZHAO Y B, YIN J L, GUO H Y, et al., 2015. The complete chloroplast genome provides insight into the evolution and polymorphism of *Panax ginseng*. Front. Plant Sci., 5: 696.

(责任编委 黄新元) (责任副主编 刘云峰)